

2019 届硕士专业学位论文

分类号: _____

学校代码: 10269

密 级: _____

学 号: 51164500190



華東師範大學

构建 Android 动态函数调用图:

RunDroid 的设计与实现

院 系: 计算机科学与软件工程学院

专业名称: 计 算 机 技 术

研究方向: 软件方法与程序语言

指导教师: 徐立华 副 教 授

学位申请人: 袁 宇 杰

2018 年 11 月

Dissertation for master degree in 2019
(Professional)

University Code: 10269
Student ID: 51164500190

EAST CHINA NORMAL UNIVERSITY

The Building of Android Dynamic Function Call Graph: The Design and Implement of RunDroid

Department:	School of Computer Science and Software Engineering
Major:	Computer Technique
Research Direction:	Software Method and Program Language
Supervisor:	Associate Professor Lihua Xu
Candidate:	Yujie Yuan

Nov, 2018

华东师范大学学位论文原创性声明

郑重声明：本人呈交的学位论文《构建 Android 动态函数调用图：RunDroid 的设计与实现》，是在华东师范大学攻读硕士/博士（请勾选）学位期间，在导师的指导下进行的研究工作及取得的研究成果。除文中已经注明引用的内容外，本论文不包含其他个人已经发表或撰写过的研究成果。对本文的研究做出重要贡献的个人和集体，均已在文中作了明确说明并表示谢意。

作者签名：_____

日期： 年 月 日

华东师范大学学位论文著作权使用声明

《构建 Android 动态函数调用图：RunDroid 的设计与实现》系本人在华东师范大学攻读学位期间在导师指导下完成的硕士/博士（请勾选）学位论文，本论文的研究成果归华东师范大学所有。本人同意华东师范大学根据相关规定保留和使用此学位论文，并向主管部门和相关机构如国家图书馆、中信所和“知网”送交学位论文的印刷版和电子版；允许学位论文进入华东师范大学图书馆及数据库被查阅、借阅；同意学校将学位论文加入全国博士、硕士学位论文共建单位数据库进行检索，将学位论文的标题和摘要汇编出版，采用影印、缩印或者其它方式合理复制学位论文。

本学位论文属于（请勾选）

☐ 1. 经华东师范大学相关部门审查核定的“内部”或“涉密”学位论文*，于 年 月 日解密，解密后适用上述授权。

☐ 2. 不保密，适用上述授权。

导师签名：_____

本人签名：_____

年 月 日

* “涉密”学位论文应是已经华东师范大学学位评定委员会办公室或保密委员会审定过的学位论文（需附获批的《华东师范大学研究生申请学位论文“涉密”审批表》方为有效），未经上述部门审定的学位论文均为公开学位论文。此声明栏不填写的，默认为公开学位论文，均适用上述授权）。

袁宇杰 硕士专业学位论文答辩委员会成员名单

姓名	职称	单位	备注
----	----	----	----

摘 要

关键词: Android, 函数调用图, 日志生成

ABSTRACT

Keywords:

目录

第一章 绪论	1
1.1 研究背景	1
1.2 Android 分析技术	3
1.2.1 静态分析技术	3
1.2.2 动态分析技术	4
1.2.3 分析技术的应用	6
1.3 本文的主要工作	7
1.4 本文的组织结构	8
第二章 Android 系统相关背景介绍	9
2.1 Android 系统结构介绍	9
2.2 Android 中的 Activity	11
2.3 Android 中的多线程交互	12
2.3.1 基于 Java 的多线程交互	14
2.3.2 基于 Handler 的多线程消息调度	14
2.4 本文遇到的困难与挑战	17
2.5 本章小结	18
第三章 名称解释	19
3.1 概念定义	19
3.1.1 关于方法和对象的定义	19
3.1.2 关于方法间关系的定义	20
3.1.3 关于调用图的定义	21

3.2	举例说明	22
3.3	本章小结	22
第四章	设计与实现	23
4.1	系统功能	23
4.2	基本思想	23
4.3	技术路线	24
4.4	相关技术介绍	26
4.4.1	srcML	26
4.4.2	Xposed 框架	26
4.4.3	Neo4j	27
4.5	模块实现	27
4.5.1	预处理器	27
4.5.2	运行时拦截器	28
4.5.3	日志记录器	28
4.5.4	调用图构建器	29
4.6	基于源代码的日志代码插桩过程	30
4.7	扩展函数调用图的构建过程	30
4.7.1	构建函数调用图	30
4.7.2	构建 Activity 的生命周期	32
4.7.3	构建多线程触发关系	32
4.8	本章小结	34
第五章	系统测试	35
5.1	实验设置	35
5.2	日志效率对比实验	35
5.3	运行效率对比实验	36
5.4	本章小结	36
第六章	应用结果展示	38
6.1	函数调用图的构建结果展示	38

6.2	Activity 的生命周期效果展示	38
6.3	多线程触发关系效果展示	38
6.4	本章小结	38
第七章	总结与展望	41
7.1	总结	41
7.2	展望	41
致谢	47
攻读学位期间发表的学术论文	48

插图

1.1	Google Play Store 上架的应用总数的变化趋势	2
2.1	Android 系统框架图	10
2.2	Activity 的生命周期	13
2.3	Handler 的使用实例	15
2.4	Handler 各 API 之间的调用关系	16
2.5	Handler 的工作原理	17
4.1	RunDroid 的基本思路	24
4.2	RunDroid 的工作流程	25
5.1	构建效率对比实验	36
5.2	运行效率对比实验	37
6.1	Example code for the Android execution model	39
6.2	斐波拉契数列-FlowDroid 生成的调用图	40
6.3	Handler-FlowDroid 生成的调用图	40

表格

4.1	运行时拦截器拦截的系统方法列表	29
-----	---------------------------	----

第一章 绪论

1.1 研究背景

在现在社会，人们和移动设备的关系越来越密切，衣食住行几乎都离不开手机。每天，人们只需要打开手机上的应用，就可以完成几乎所有的生活需求，从出行打车到在线订餐，从网上购物到房屋租赁。移动应用已经深入到人们生活的方方面面。以移动系统 Android 为例，根据著名网站 statista 的统计 [1] 显示，Android 官方应用平台 Google Play Store 在 2009 年 12 月至 2018 年 6 月期间的应用数量变化如图 1.1 所示。Google Play Store 于 2008 年 8 月上线，截止 2018 年 3 月，在 Google Play Store 上架的应用已经超过 330 万。这个数字在 2013 年 7 月才刚刚突破 100 万。这也从一个侧面反映出最近几年移动应用迅猛的增长趋势。

正因为移动应用迅猛的增长趋势，学术界和工业届的相关人员开始研究如何通过技术手段分析移动应用的代码内容，了解应用本身的运行时行为，进行相关学术研究和工业生产。利用程序分析技术，研究人员对应用程序的项目相关源代码、配置文件或者二进制分发文件进行分析，监控程序的运行时行为，总结出应用程序相关特征。结合具体应用场景，我们对这些特征进行归纳总结出相关规律，应用在应用分析、安全风险以及质量保障等领域，进一步提升应用程序的易用性、安全性和可靠性。

根据分析过程中是否需要运行目标程序，我们可以将这些技术手段分为静态分析技术和动态分析技术。如果分析过程不依赖于目标程序的运行，这种分析技术称为静态分析技术，反之则为动态分析技术。静态分析技术通常以二进制程序文件作为研究主体，结合相应的控制流分析、数据流分析技术、指针分析以及程序依

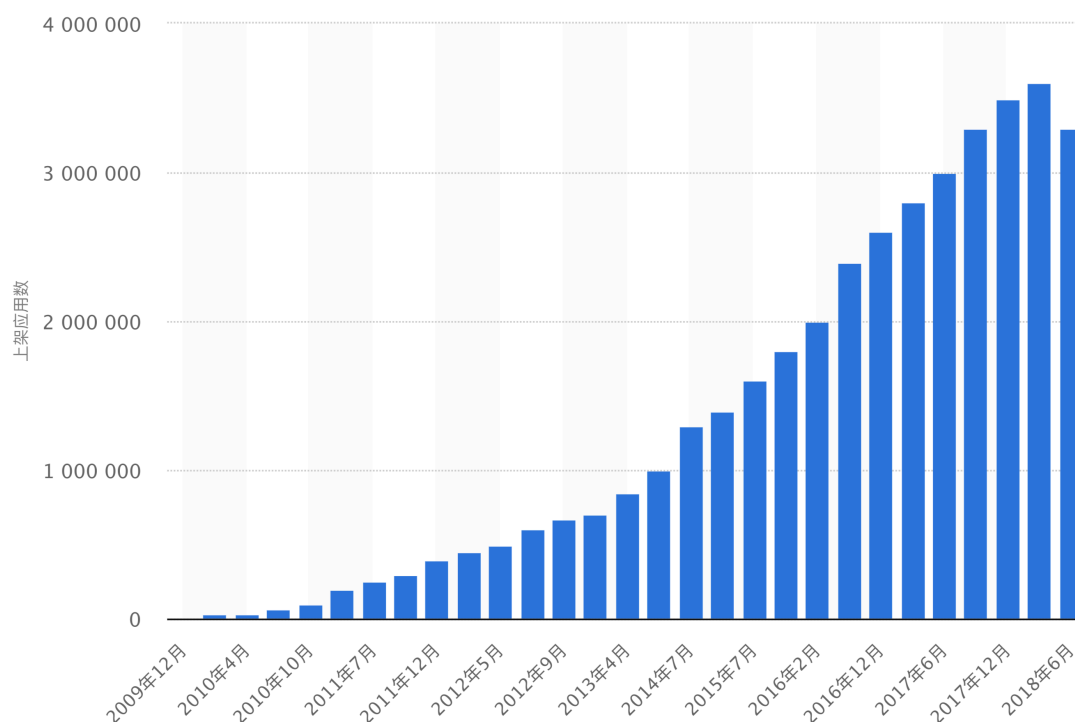


图 1.1: Google Play Store 上架的应用总数的变化趋势

赖分析，得出应用程序过程内的控制依赖和数据依赖（两者统称为程序依赖）；根据程序方法内相关函数/方法¹调用，可以得到函数调用图、UML 类图和序列图；我们将程序依赖数据和函数调用图相结合，可以进一步得到过程间程序依赖 [2]，帮助研究人员了解程序整体层面的业务间的依赖关系，进行污点传播分析。相反的，动态分析技术依赖目标程序的运行，通过修改目标程序的运行文件，搭建目标程序的运行环境，记录程序运行过程中相关操作信息，监控目标程序在运行过程中的状态变迁或指标变化，进而得出程序在运行过程中的行为特定，帮助研究人员进行程序安全性分析，提升程序的质量可靠性。

但是，上述两种技术各有各的优劣。静态分析技术有着较为扎实的理论基础，分析结果精确可靠，覆盖范围全面。但是，静态分析技术在枚举所有情况时，往往会遇到状态爆炸的问题，具体实验效果受到实验运行环境的硬件条件和算法实现程度的限制。而且，静态分析技术分析的问题依赖于外部环境（用户实时操作序

¹在 Java 语言中，函数称为方法。在本文中，两者可以相互替换，不做区分。

列、手机所处环境因素，如温度等），分析得到的结果并不是非常准确。动态分析技术却能解决这个问题，通过对程序运行状态的监控，研究人员可以了解程序的运行行为，掌握程序的安全性信息和可靠性信息。但是，动态分析技术的缺点也非常明显：动态运行环境的搭建往往要设计到相关系统的源代码，构建系统的时间成本大，技术要求高。另外，动态分析技术的分析结果往往只针对一次程序的运行过程，无法直接推广到其他运行情况。

Android 应用程序的特性（例如，基于事件驱动的基础架构、面向组件的开发方式、高度依赖回调函数和多线程交互等）使得传统分析工具无法直接应用在 Android 程序上，对研究人员了解 Android 应用程序执行细节造成了一定的困扰。为了解决这个问题，本文提出了一种静态动态相结合的技术方案，通过程序源代码和运行环境进行预处理，获得程序的运行时信息，进而还原出 Android 应用程序的动态函数调用图。在调用图中，除了方法调用关系，我们还提供了方法对象、方法间触发关系等信息，可以帮助研究人员补全函数关系，较为全面地了解应用程序运行时的状态变化。

1.2 Android 分析技术

通常的，软件分析技术主要分为静态分析技术和动态分析技术两类。

1.2.1 静态分析技术

在不执行应用程序的情况下，静态分析技术通过对应用程序的源代码或者执行文件进行控制流分析和数据流分析，进而推断应用程序在运行过程中可能产生的行为。这方面相关工具包括 [3-7] 等。Soot[3] 是传统的静态分析工具，其思路是将所有的 Java 字节码文件转化成一种中间语言 Jimple，并在 Jimple 的基础上进行常规的控制流分析、数据流分析，理论上适用于所有可以在 Java 虚拟机上运行的语言（例如 Scala、Groovy 等等）的分析。由于 Android 程序本身的字节码 Dalvik 和 Java 字节码在格式上保持一致，因此，Soot 也支持 Android 应用程序的静态分析。

但是, Soot 在分析过程中没有考虑一些 Android 的特性难免会出现一些问题。为此, 德国达姆施塔特工业大学的 Steven Arzt 等人在 Soot 的基础上考虑 Android 程序中 Activity 的生命周期特性, 推出了一个针对 Android 的静态分析工具 FlowDroid[4], 可以做到上下文、路径、对象、字段等层面上的敏感。FlowDroid 通过定义数据源点和数据泄漏点, 在 Android 应用生命周期的基础上, 可以实现数据流敏感的污点分析。但其不足之处在于缺少跨组件通信的分析不考虑多线程调用问题。在 FlowDroid 基础上, 卢森堡大学的 Li Li 等人推出了 IccTA[6], 利用跨组件通信分析工具 IC3 提取跨组件通信 (Inter-Component Communication, ICC) 的方法调用, 并结合 AndroidManifest.xml 文件定义的 Intent Filter 信息, 连接 ICC 两端的组件, 克服了 FlowDroid 因缺少跨组件通信而导致的数据流上的缺失。因为它是构建在 FlowDroid 之上的一个探测敏感信息泄露的, 所以受限于 FlowDroid 的局限性。

Yang 等人 [8], 利用静态分析技术, 并将回调函数添加到控制流图 (调用图) 中, 形成了回调控制流图 (Callback control-flow graph)。实验结果显示, Yang 的工作比 Gator [9] 在控件监听器绑定上得到了更为准确结果。法国和意大利的学者 [10] 通过对 Java 字节码静态分析器 Julia 进行扩展, 使得其支持对 Android 应用程序的静态分析; 他们通过改写 Android 库中 Activity、LayoutInflater 等类的代码逻辑, 规避了 Android 系统分析常见难点 (如程序的事件机制, 基于反射的视图加载等), 实现了包括死代码检查、空指针检查在内的 7 种静态分析技术。

1.2.2 动态分析技术

和静态分析技术相对应, 动态分析技术通过执行应用程序, 获取程序运行过程的相关信息, 从而实现对应的研究目的。动态分析技术往往需要对运行环境做适当的修改或者调用特殊的系统接口, 记录应用程序运行过程的关键信息, 结合数据流追踪等技术, 已记录应用程序的运行时行为。这方面的工作代表包括 [11–14] 等。Enck 等人提出的 TaintDroid[11], 是一个高效的系统级的动态污点跟踪和分析系统。它通过修改 Dalvik 虚拟机, 利用动态污点分析技术实时监控敏感数据的生成、传播

和泄露,实现了变量层面、方法层面、文件层面的数据追踪。此外, **TaintDroid** 还支持跨进程通信 (IPC) 层面上的污点分析, 因此可以精确分析出应用程序从消费者手机上获取和发布隐私信息的完整传播过程。**TaintDroid** 提供了较为完备的数据流分析技术, 但是不支持控制流追踪, 无法给出相关语句的执行路径。**DroidBox**[12] 在 **TaintDroid** 基础上, 对 **Android Framework** 的部分 API 做了修改, 可以记录一些开发人员感兴趣的 API (例如文件读写、网络请求、SMS 服务等) 的调用, 并提供分析结果的可视化。同时, **DroidBox** 还实现了应用程序的自动安装和执行, 弥补了 **TaintDroid** 在软件测试自动化方面的不足。和 **TaintDroid** 不同, **TraceDroid**[13] 采用的是另一种思路, 利用字节码插装技术 **AspectJ**, 使得方法在执行时输出相应的日志信息。根据这些信息 **TraceDroid** 可以还原函数调用图, 得到分析结果。由于 **Aspect** 在进行字节码编织时引入的新的方法会导致方法数 65K 限制问题 (即构建 APK 文件的过程中, 方法总数超过 65536, 进而使得 APK 文件无法成功构建 [15]), 因此该方案存在不稳定的情况。

另外, 研究人员还用动态分析技术查找 **Android** 应用程序在运行时性能瓶颈。**Android** 官方性能检测工具 **SimpleProf** [16] 就是其中的一个代表。**SimpleProf** 利用了 **Linux** 提供的系统接口 *perf_event_open*, 定时获取到性能监视单元的相关信息 (例如 **cpu** 周期数、执行的指令数、缓存失效次数等)。利用这些信息, **SimpleProf** 可以得到对应时刻的 **CPU** 状态, 还原出各个方法的执行时间和对应的执行路径。根据方法执行时间的长短和对应的执行路径, 开发人员可以发现程序的性能瓶颈, 进而通过对程序代码做出调整, 提升程序的运行性能。但是, 该方法受到系统接口回调周期的影响, 过于频繁的调度周期会使系统产生过大的开销, 影响原有程序的执行; 反之, 则会丢失部分方法的执行信息。而且, **Android** 程序关心的性能瓶颈一般都位于主线程, 而 **SimpleProf** 会输出所有线程的执行信息, 实际开销较大。为此, **Uber** 的 **Nanoscope** [17] 采用追踪 (Trace) 技术在定制化的系统 **Nanoscope OS** 中运行, 在虚拟机解释执行目标方法前后输出相关 **Trace** 日志, 进而得到性能报告。相比 **SimpleProf**, **Nanoscope** 只输出主线程相关的方法数据信息, 大大减低了性能上

的开销。但是，nanoscope 的局限性在于构建成本较高，需要配合特定的系统使用。

1.2.3 分析技术的应用

上述技术广泛运用在安全性分析、质量保障、应用分析等领域。

安全性分析：

安全性分析包括隐私泄露、权限机制研究、恶意软件排查等。

IOS Detecting privacy leaks in ios applications

为了弥补 Android 官方文档权限说明不完整的状况，多伦多大学的 Kathy Au 等人提出的 PScout [18] 利用 Soot 对 Android 系统程序源代码进行静态分析，构建出整个 Android 系统的函数调用图，在调用图中标识权限相关的 Binder 跨进程调用，结合逆向可达性分析技术得出相关 API 接口以及对应调用路径上的所有权限检查的映射关系。相比其他类似工作，由于考虑了 Android 系统特性，PScout 分析的结果更加完整，但受到可达性分析的精度限制，存在部分错误的映射关系。此外，该团队对 Android 2.1 ~ 4.0 等四个版本的系统源代码进行了广泛的分析，就权限设计的冗余性、无文档说明 API 的权限要求、权限在 Android 系统升级的演变等多个研究问题进行深入的探讨。在 PScout 的基础上，Rahul Pandita 等人将目光聚焦到应用市场上，他们开发的 WhyPer [19] 将自然语言处理技术（NLP）和传统静态分析技术相结合，可以帮人们找出那些应用描述和实际使用到的权限不符的应用。

Wei Yang 等人发现一部分恶意应用试图通过模仿正常应用的行为以防止被安全机构识别出来，例如恶意软件用到了和正常软件经常使用到的发送短信的功能，不同的是恶意软件一般在特定的时间点（深夜）运行，以防止引起用户的注意。为了筛选出这种类型的恶意软件，Wei Yang 等人提出了一个基于静态分析技术的解决方案 AppContext [20]：在 FlowDroid 提供的函数调用图的基础上，AppContext 结合 Android 常见的系统事件，提取出安全敏感行为及对应的上下文，并利用 SVM 技术对这些信息进行机器学习，得到最终的安全检测模型。实验结果显示，AppContext

的准确率和召回率分别达到了 87.7% 和 95%，这从一个侧面反映了安全敏感行为的恶意性与该行为的意图 (通过上下文反映) 更密切相关，验证之前提到的问题。

AppIntent [21]

也有一部分研究 Socket [22–24] 聚焦移动应用在网络传输上的安全问题。

质量保障：

Exception fault localization in Android applications [25]

machado2013mzoltar [26]

Suting [27]

Fan [28, 29]

现有的性能测试的工作中，Mario Linares-Vasquez[25] 等提出通过对开源社区 App 的分析，详细归纳了 App 性能中由线程问题、GUI 渲染问题、内存问题导致 App 运行异常的原因。

应用分类：

Simapp [30]

mobile app tagging [31]

1.3 本文的主要工作

本文的主要研究工作包括以下：

- 1) 调研最近几年 Android 应用分析领域的静动态分析工具，了解各项工具的优劣以及相关的应用案例。
- 2) 提出并实现 Android 动态函数调用图构建系统，包含传统函数调用图的构建以及在此基础之上的多线程函数调用关系的构建。
- 3) 对上述系统设计对应的实验方案，评估对应的实验效果。

1.4 本文的组织结构

本文共分为七章，环绕着 **Android** 动态函数调用图构建系统的设计与实现展开，各章节内容如下：

第一章：主要介绍了本文的主要研究背景、相关工作内容、主要工作内容以及研究意义，最后对本文的各章的内容做了阐述。

第二章：从 **Android** 的体系结构出发，介绍了和 **Android** 系统相关的背景知识。

第三章：方法和对象的关系、方法间关系、调用图等几个方面介绍本文用到的概念做了符号化的定义，并结合文章的例子对这些概念做了进一步的说明。

第四章：从系统功能、相关挑战、技术路线、技术选型、模块实现等若干方面介绍 **RunDroid** 的设计与实现。

第五章：从应用程序的构建效率、日志本身记录效率以及系统对程序运行的影响等三个方面设计并开展相关的测试实验。

第六章：将展示 **RunDroid** 系统生成的函数调用图的运行结果，并对函数调用图进行详细的阐述。

第七章：对本文工作进行总结，并对下一步工作进行展望。

第二章 Android 系统相关背景介绍

本章首先会简要介绍 Android 系统架构，其次会对 Android 中的 Activity 组件做基本介绍，接着会着重介绍 Android 中常见的两种多线程交互方式，最后将指出本文系统在实现上的难点。

2.1 Android 系统结构介绍

Android 是基于 Linux 内核开发的的开源操作系统，隶属于 Google 公司，主要用于触屏移动设备如智能手机、平板电脑与其他便携式设备，是目前世界上最流行的移动终端操作系统之一。

在系统架构上，Android 自下到上，可以分为四层：Kernel 层、Library 和 Android Runtime(Dalvik/ART)、Framework、Application 等，如图 2.1所示。Kernel 层是硬件和软件层之间的抽象层，主要是设备的驱动程序，例如：显示驱动、音频驱动、蓝牙驱动、Binder IPC 驱动等。Library 和 Android Runtime(Dalvik/ART): Library，顾名思义就是向上层提供各种这样的基础功能，例如 SQLite 数据库引擎，Surface Manager 显示系统管理库。Android Runtime 主要是运行 Android 程序的虚拟机，在不同版本的系统上对应着不同的虚拟机，例如在 Android 5.0 及以上是 ART，而在 Android 4.3 及以下为 Dalvik，而 Android 4.4 两者都有。Framework 层主要是系统管理类库，包括 Activity 的管理，消息通知的管理；同时，它是 Application 的基础架构，为应用程序层的开发者提供了 API，其存在简化了程序的开发。而 Application 就是我们平时接触的应用，开发人员调用底层 Framework 提供的 API 实现相应的接口。

虽然 Android 应用程序是使用 Java 语言开发的，但是它和传统的 Java 程序有着很大的不同，具体有如下几点：

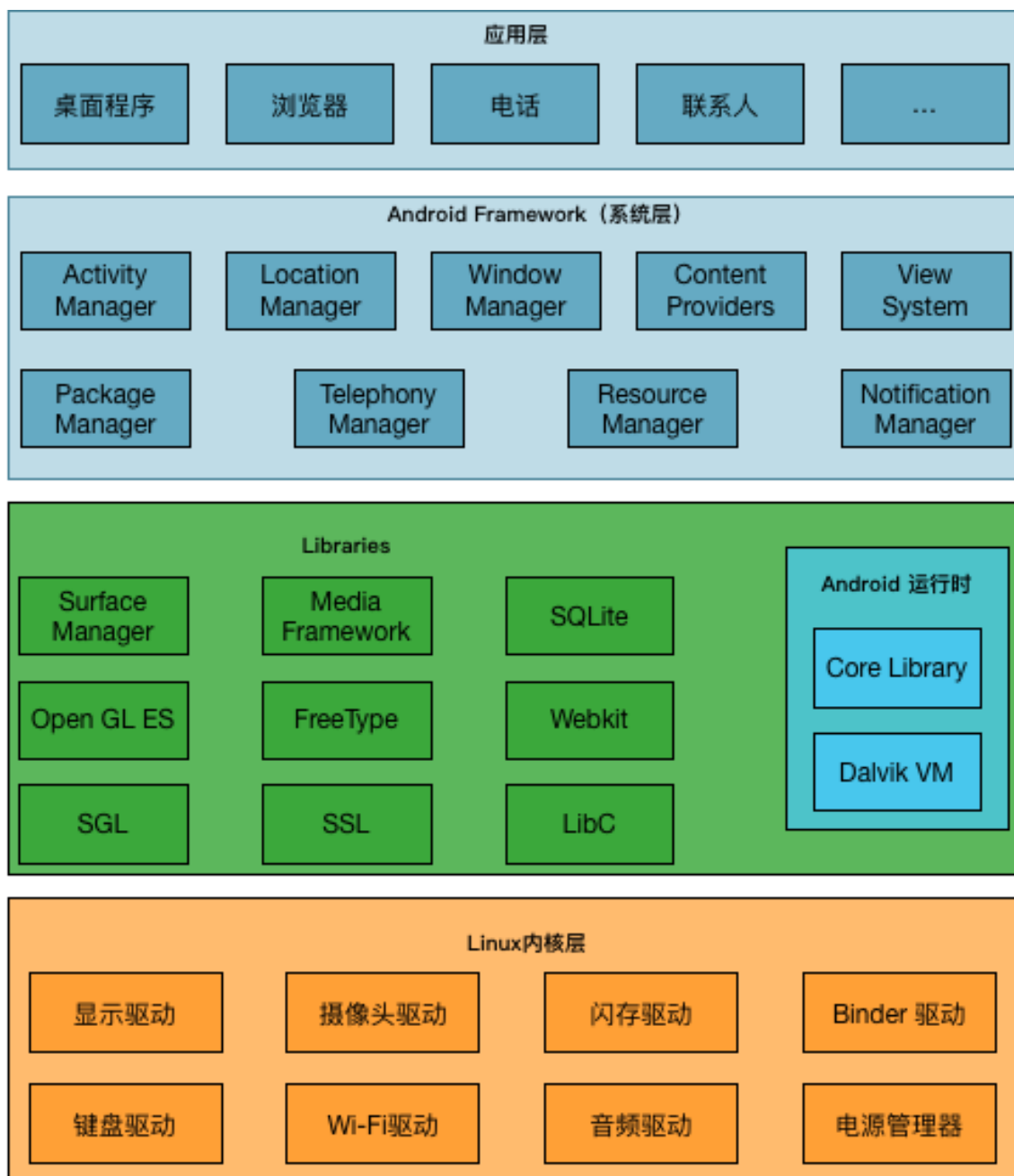


图 2.1: Android 系统框架图

基于事件驱动的编程模型：在设计上，Android 应用程序的开发架构采用的是事件驱动架构。在开发过程中，没有传统程序中入口函数 Entry Point 的概念。应用程序中通用的业务逻辑（例如应用程序如何启动退出、应用的窗口如何创建销毁等）存在于 Android Framework 中。这也使得 Android 应用程序的分发文件（即 APK 文件）相对较小。

面向组件的开发方式：Android 程序中较为常见的是组件（Component，例如 Activity、Service、Content Provider、Broadcast Receiver），它是应用程序运行的最小单元，受到 Android Framework 的直接调度。开发人员通过继承这些组件，重写对应的生命周期函数，已实现对应的业务需求（界面的布局、页面状态的保存等），而这些组件的生命周期由 Framework 调度完成。

大量逻辑实现依赖于回调函数和多线程通信：由于 Android 应用程序采用的是基于单线程消息队列的事件驱动架构，因此，界面相关的操作只允许出现在主线程（UI Thread）中，耗时操作只能在工作线程（Worker Thread）中进行。通常的，开发人员往往会借助回调函数处理控件的响应事件，利用多线程交互串联界面相关操作和耗时操作，完成对应的业务。

2.2 Android 中的 Activity

在 Android 应用程序运行过程中，Activity 向用户展示图形界面，响应用户的反馈，和其他组件一同完成相关业务，扮演着最为重要的作用。由于 Android 应用程序在架构选型上采用了事件驱动模型，为了便于协调应用内部状态的管理，Android 组件通常有生命周期的概念，Activity 也不例外。

Android 系统根据 Activity 在运行时和用户的反馈将其状态分为以下四种：

1. 运行态：在该状态下，Activity 处于页面最前端时，用户可以与 Activity 进行交互。一般的，我们看到 Activity 均处于这个状态。
2. 暂停态：在该状态，Activity 仍然可见，但是失去了窗口的焦点。当一个 Activity 之上出现一个透明的 Activity、Toast 或者对话框时，Activity 就处于这个状态。处于暂停状态的 Activity 仍处于存活状态，保存着所有的内存数据，只有当系统内存极度紧张时，才有可能被系统杀死回收。
3. 停止态：当一个 Activity 被其他的 Activity 遮挡时，处于这个状态。处于该状态的 Activity 仍然可以保留所有的状态，只是对用户不可见。系统在需要内

存的情况下，可以采用相应的策略对 Activity 进行杀死回收操作。

4. 终止态：当 Activity 处于暂停态或者停止态时，系统由于内存原因可能会将上述两种 Activity 杀死回收。处于该状态下的 Activity 将不能直接恢复。

Activity 的生命周期就是以上状态之间的跳转，受到 Activity 在运行时的内存分布、环境状态以及业务逻辑的影响，由 Android 系统直接负责调度。Android 系统为 Activity 提供了 *onCreate()* , *onStart()* , *onResume()* , *onPaused()* , *onRestart()* , *onStoped()* 和 *onDestroy()* 等方法，方便开发人员在 Activity 的状态发生变化时对程序的运行时数据和应用状态做适当的处理操作。对应的 Activity 的生命周期具体如图 2.2 所示：

当用户点击应用图标，系统启动应用程序后，系统会创建 Activity、启动 Activity 并使之可以和用户进行交互。在这个过程中，*onCreate()* 、 *onStart()* 、 *onResume()* 等方法被回调，Activity 最终处于运行态；

当用户点击“返回键”返回到桌面时，Activity 会失去焦点，在用户的视野中消失，直至被系统回收，对应的状态也从运行态经暂停态、停止态，变为终止态变，期间 *onPause()* 、 *onStop()* 、 *onDestroy()* 等方法被回调；

当用户从一个界面回到原来的界面时，原有的 Activity 从停止态重启，先后出现在设备界面上，获得和用户交互的焦点，期间 *onRestart()* 、 *onStart()* 、 *onResume()* 等方法被回调；

当一个 Activity 长期处于停止态，但由于内存原因被系统回收时，用户尝试启动它时，系统会像启动一个新的 Activity 一样启动它。

2.3 Android 中的多线程交互

Android 系统在架构设计上采用了事件驱动架构。在多线程并发访问时，若 UI 控件对于各线程均是可见的，并发对控件做读写操作会使控件处于不可预期的状态；若贸然对控件使用锁机制，这将会使阻塞部分线程业务逻辑的执行，使得应用变得复杂低效。上述情况对于应用程序都是不可接受的。为了避免多线程操作之

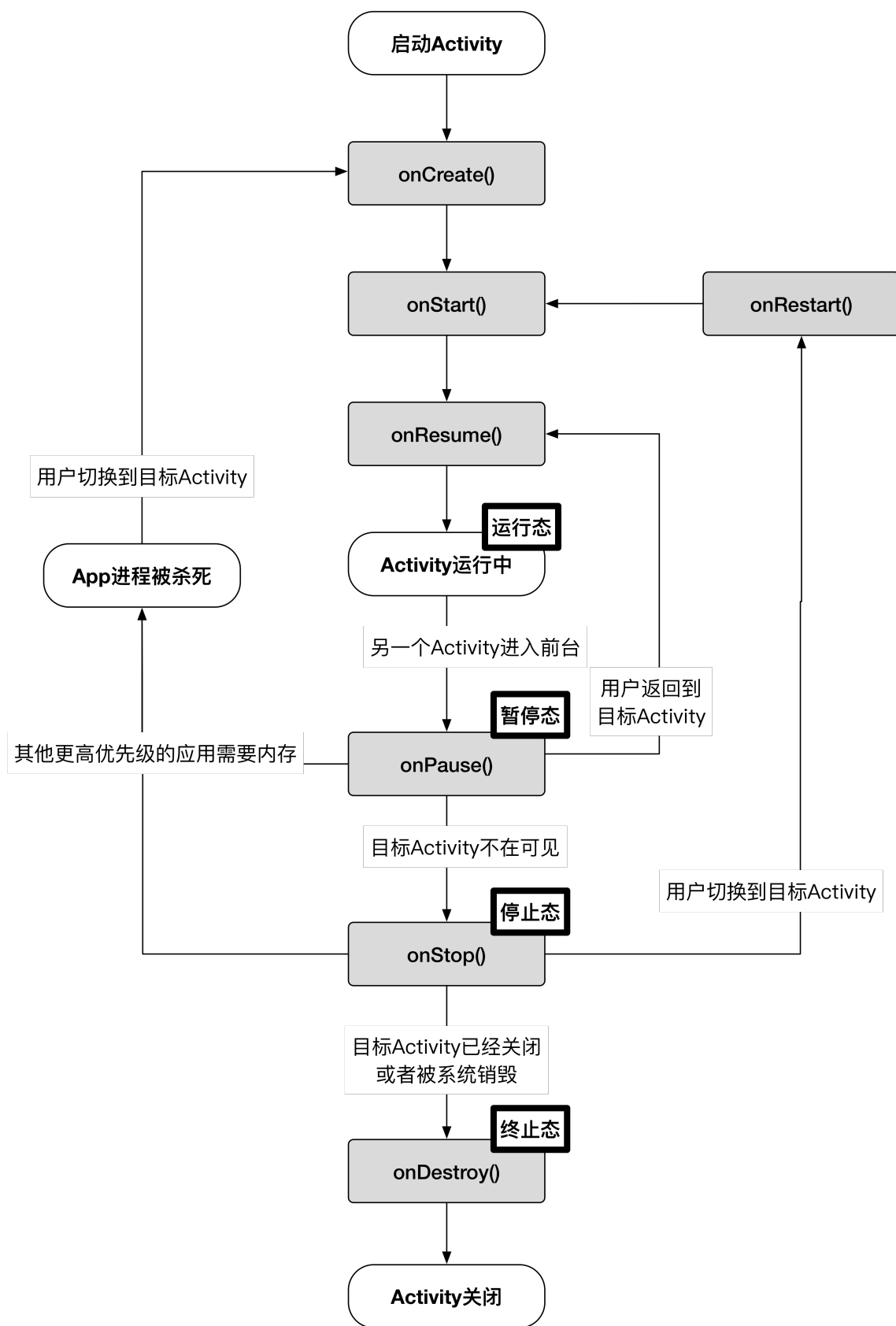


图 2.2: Activity 的生命周期

间的竞争关系带来的低效率问题，Android 系统在设计事件驱动架构时，采用了单线程的消息队列，即只允许在主线程（也称为主线程，Main Thread）进行界面更新操作，不允许在其他线程（也称为工作线程，Worker Thread）进行界面更新操作。

当应用程序出现耗时操作（例如加载磁盘上的图片、网络请求等）时，应用程序往往需要在一个新的线程中执行上述逻辑。当应用程序界面中的某些控件需要根据耗时操作的结果（例如渲染得到的图片对象、网络请求得到的 JSON 字段）更新界面状态时，开发人员需要切换到主线程进行界面的更新。

从整体上，开发者可以需要的交互方式分为基于 Java 的多线程交互和基于 Handler 的交互方式。

2.3.1 基于 Java 的多线程交互

由于 Android 系统提供的 API 接口兼容 Java 多线程相关的部分 API，因此，在 Android 系统中，开发人员可以采用和 Java 应用相同的调用方式启动工作线程，并在对应的线程上完成业务逻辑。但是，Java API 只能实现业务逻辑从原有线程转移到新的工作线程上，不能重新返回到主线程上。为此，Android 系统在 Java API 的基础上还提供了 API `void runOnUiThread(Runnable runnable)`。该 API 可以帮助开发人员将业务逻辑的执行从工作线程转移到主线程上，该 API 也符合 Android 只允许在主线程上更新界面这一基本设计原则。但是，该 API 也存在着一些弊端，例如 `runOnUiThread(Runnable)` API 的定义位于类 `android.app.Activity`，这也就意味着在 Android 组件 `Service` 中进行耗时操作时，无法通过该 API 返回到主线程；同时基于接口的函数参数定义方式对于跨线程的参数传递也不是十分友好。为此，Android 提供了基于 Handler 的多线程交互方式。

2.3.2 基于 Handler 的多线程消息调度

为了满足开发人员多样化的业务在多线程间的切换，Android 提供了基于 Handler 消息调度的多线程交互方式。当开发人员需要当前业务逻辑转移到其他线程时，通过方法 `Message.obtain()` 获取一个 `Message`，将对应的业务逻辑封装成 `Runnable`

对象传递给 `Message` 中对应的字段，或者将对应的参数传递给 `Message` 中的参数字段，最后通过 `Handler` 对象发送给指定的消息队列。当目标线程的消息队列读取到这条消息时，便会在该线程中执行预定的业务逻辑。

图 2.3 为 `Handler` 的简单示例：用户在工作线程执行一项耗时任务（生成一个字符串），将生成的字符串传递给 `Message` 对象，并通过 `Handler` 对象通知主线程进行界面更新。

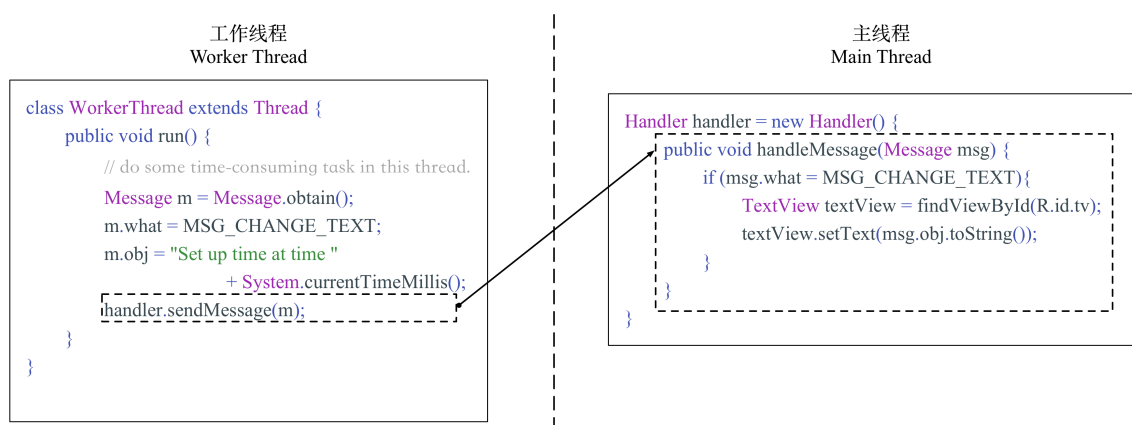


图 2.3: `Handler` 的使用实例

未完整介绍分发过程!!!

从 Android SDK 提供的 API 来看，开发人员可以通过 `post(Runnable)`，`postAtTime(Runnable, long)`，`sendMessage(Message)`，`postDelayed(Runnable, Object, long)`，`sendMessageDelayed(Message, long)`，`sendMessageAtTime(Message, long)` 和 `sendEmptyMessage(int)` 等多种 API 形式实现消息调度。通过查阅和分析 Android 系统相关源代码，我们发现上述 `Handler` 相关的 API 关系如图 2.4 所示。从图 2.4 中，我们可以发现所有的 API 最后就会调用到 `android.os.Handler enqueueMessage(MessageQueue, Message, long)` 方法。

从底层实现上看，`Handler` 机制主要由 `Handler`、`Looper`、`MessageQueue`、`Message` 等若干部分组成。`Message` 是跨线程交互的主要载体，Android 系统采用对象池的设计模式来管理 `Message` 对象；无论开发人员以何种形式调用了 `Handler` 发送消息，传递的参数最后均会封装到 `Message` 对象中。`MessageQueue` 则存放着所有待

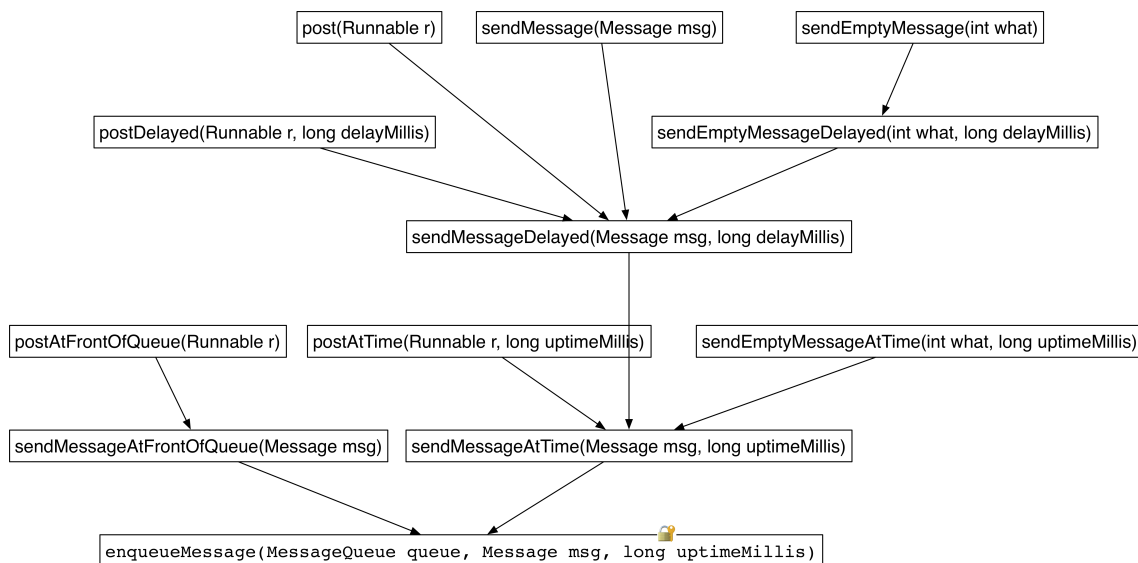


图 2.4: Handler 各 API 之间的调用关系

处理的 **Message** 对象，它是一个双端队列，开发人员可以根据具体业务场景在消息队列的头部、尾部或者适当位置插入消息队列。**Looper** 则负责以 **epoll** 的方式从 **MessageQueue** 中循环读取 **Message** 对象，分发给对应的 **Handler** 对象使得业务可以在对应恰当的线程上被处理；一个线程最多只允许只有一个 **Looper** 对象，他只能绑定一个与之对应的 **MessageQueue**；其中最为常见的就是位于主线程的 **MainLooper**，它主要负责 **Android** 系统的日常调度（例如 **Activity** 的生命周期、控件的点击事件响应等）。**Handler** 对象则负责将消息发送到对应的 **MessageQueue** 中（扮演着消息的生产者角色）以及消费来自 **Looper** 分发下来的 **Message**（扮演着消息的消费者角色）；在一个应用中，**Handler** 可以存在多个对象，一个 **Handler** 对象也可以同时扮演生产者和消费者两个角色。

从原理上看，基于 **Handler** 的多线程消息调度，充分利用了 **Android** 的事件驱动架构，将业务逻辑抽象出 **Message** 对象。该消息对象通过 **Handler** 的对应接口发送至在目标线程所对应的消息队列 **MessageQueue** 中，再由 **Looper** 对象在目标线程运行时从消息队列中取出，分发给对应的 **Handler** 执行，达到了 **Android** 跨线程交互的目的。具体地，**Handler** 的工作原理如图 2.5 所示：

综上所述，基于 **Handler** 消息调度的多线程交互方式，不仅可以帮助开发人员

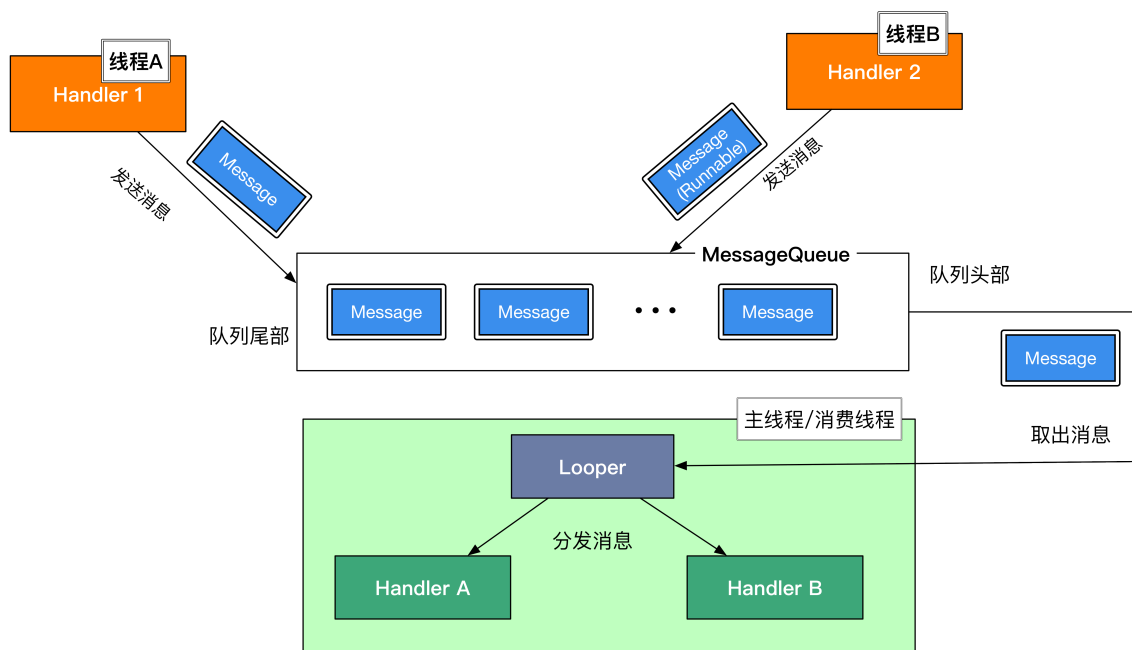


图 2.5: Handler 的工作原理

实现业务逻辑在主线程和工作线程间的自由转移，而且其灵活的 API 设计还帮助开发人员降低应用的设计复杂程度，提升了系统架构的可拓展性。因此，在 Android 开发过程中，基于 Handler 消息调度的多线程交互十分常见。

2.4 本文遇到的困难与挑战

本文解决的关键问题有如下几点：

1) 如何获取应用程序中各个函数的执行信息？

获取应用程序在执行过程中各函数执行信息是本文的基础。从函数分类上，用户定义的方法和系统预定义的方法。对于前者，我们可以通过修改程序源代码实现；但对于后者，由于我们无法直接修改系统程序的源代码或者构建一个符合本文业务需求的系统的成本较高，为此，我们需要寻找对应的解决方案以帮助我们获取系统方法的执行信息。

2) 如何根据程序中各函数的执行信息，还原应用程序的函数调用图？

基于第一点，我们可以获取程序在运行过程中的执行信息。但仅仅依靠这些

执行信息是不够的，我们还需要将这些执行信息组织起来，挖掘执行信息之间的关联关系，从而才能还原成应用程序的函数调用图。这将是本文研究的重点之一。

3) 如何在生成的函数调用图中体现 Android 特性?

正如上文所提的，Android 系统中有很多常规应用中不具备的特性，例如 Activity 的生命周期、基于多线程调用的触发关系。若要在生成的函数调用图上体现上述特性，需要对 Android 系统源代码有一定的了解熟悉，并基于图中的相关信息创建与特性相对应的关系。这既是本文研究的重点，也是本文的创新点。

2.5 本章小结

本章主要介绍了 Android 系统的相关背景知识，较为详细的阐述了 Android 的系统结构，详细介绍了 Android 四大组件之一的 Activity 机器生命周期。同时，本章还介绍了基于 Runnable/Thread、Handler 消息调度两种不同的多线程交互方式，较为详细地分析了 Handler 的运行机制，为下文基于函数调用图的多线程触发关系生成做了铺垫。最后，本章还介绍了系统在实现上可能遇到的困难。

第三章 名称解释

在本节，我们将给出拓展动态函数调用图构建过程中的基本术语：方法执行、方法对象、调用关系、触发关系、函数调用图、拓展函数调用图等。

3.1 概念定义

方法执行是一个方法执行相关信息的描述，方法对象对应是和方法执行相关的对象；调用关系和触发关系描述了方法执行之间的关系。函数调用图为所有调用关系的集合，在函数调用图上添加方法对象以及触发关系得到拓展函数调用图。相关定义如下：

3.1.1 关于方法和对象的定义

定义 1 方法对象 (*Method Object, MO*)

和方法执行相关的对象称为方法对象，可以体现对象和执行方法的相互关系。在本文中，方法对象通常用符号 o 表示。

对于一个方法执行 m ，对象和方法执行的关系有如下几种：

- 参数关系：若对象 o_p 是这个方法 m 的参数，记为 $o_p \xrightarrow{\text{parameter}} m$;
- 返回值关系：若对象 o_r 是这个方法 m 的返回值，记为 $o_r \xrightarrow{\text{return}} m$;
- 实例关系：若方法 m 是非静态方法，则方法执行时我们可以获取到关联到的 `this` 指针对象 o_i ，记为 $o_i \xrightarrow{\text{instance}} m$ 。

定义 2 方法执行

方法执行是对方法执行过程中的相关信息的描述，完整的信息包括对应方法的完整签名、执行时所处的线程 m_t 以及相关的方法对象。在本文中，方法执行通常用符号 m 表示。

3.1.2 关于方法间关系的定义

定义 3 调用关系 (*Invoke*)

对于程序 P 的两个方法 m_1 和 m_2 ，方法 m_1 调用了方法 m_2 ，则记作 $m_1 \rightarrow m_2$ ，称为方法 m_1 调用方法 m_2 。

$$m_0 \rightarrow m_1 \rightarrow \dots m_n \rightarrow m \quad (3.1)$$

在此基础上，对于方法 m ，若存在方法 m_i ($i = 0, \dots, n, n \geq 0$)，使得公式 3.1 成立，则记作 $m_0 \xrightarrow{*} m$ ，称为方法 m_0 扩展调用方法 m_n 。特殊的，对于方法 m_1 和方法 m_2 ，若 $m_1 \rightarrow m_2$ ，则 $m_1 \xrightarrow{*} m_2$ 也成立。

在系统源代码的层面上，如果对于方法 m 和 m' ， $m \rightarrow m'$ 总是成立，可以记为 $m \Rightarrow m'$ ；如果对于方法 m 和 m' ， $m \xrightarrow{*} m'$ 总是成立，可以记为 $m \xRightarrow{*} m'$ 。

定义 4 触发关系 (*Trigger*)

若方法 m_a 和方法 m_b 之间同时需要满足以下三个条件，则两个方法存在触发关系，记为 $m_a \hookrightarrow m_b$ ，称为 m_a 触发调用 m_b ：

- 方法 m_a 的执行时间总是在方法 m_b 的执行时间之前；
- $m_a \xrightarrow{*} m_b$ 不成立；
- m_a 、 m_b 之间存在着一定的因果关系，包括但不限于生命周期事件，UI 交互事件或多线程通信等。

在系统源代码的层面上，对于方法 m_a, m_b, m_c ，若 $m_a \xRightarrow{*} m_b$ 和 $m_b \hookrightarrow m_c$ 同时成立，则 $m_a \hookrightarrow m_c$ 也成立；若 $m_a \hookrightarrow m_b$ 和 $m_b \xRightarrow{*} m_c$ 同时成立，则 $m_a \hookrightarrow m_c$ 也成立。

3.1.3 关于调用图的定义

定义 5 函数调用图 (*CallGraph*, *CG*)

函数调用图是对程序运行时行为的描述, 用有向图 $CG = (V, E)$ 表示。图中的点 $v \in V$ 表示一个**方法执行** m ; 如果方法 m_1 调用方法 m_2 (即 $m_1 \rightarrow m_2$), 则有向边 $e = \langle m_1, m_2 \rangle$ 属于集合 E 。

注意: 在应用执行过程中, 方法 A 被调用了两次, 方法 A 的每次调用都调用了方法 B, 则对应的函数调用图 CG 如公式 3.2 所示。在调用图 CG 中, m_a 和 m_b 各有两个, 分别对应的两次**方法执行**。 $\langle m_{a_1} \rightarrow m_{b_1} \rangle$ 对应的是第一次函数 A 调用函数 B, $\langle m_{a_2} \rightarrow m_{b_2} \rangle$ 对应的是第二次函数 A 调用函数 B,

$$\begin{aligned} CG &= (V, E), \\ V &= \{m_{a_1}, m_{b_1}, m_{a_2}, m_{b_2}\}, \\ E &= \{\langle m_{a_1} \rightarrow m_{b_1} \rangle, \langle m_{a_2} \rightarrow m_{b_2} \rangle\} \end{aligned} \quad (3.2)$$

定义 6 拓展函数调用图 (*Extended Dynamic CallGraph*, *EDCG*)

在函数调用图 (DCG) 的基础上, 添加了方法对象和函数间的触发关系。拓展函数调用图中的节点包括方法执行节点和方法对象节点。图中的边包括描述方法间关系的边和描述方法和对象间的边: 前者的方法间关系包括调用关系和触发关系; 而后者的关系包括和方法对象相关的三个关系。具体定义如公式 3.3 所示:

$$\begin{aligned} EDCG &= (V_{EDCG}, E_{EDCG}), \\ DCG &= (V_{DCG}, E_{DCG}), \\ V_{EDCG} &= V_{method} \cup V_{object}, \\ V_{method} &= V_{DCG}, \\ G_{EDCG} &= G_{method} \cup G_{object}, \\ G_{method} &= E_{DCG} \cup \{\langle m_1, m_2 \rangle \mid m_1 \hookrightarrow m_2\} \end{aligned} \quad (3.3)$$

3.2 举例说明

以第二章中的图 2.3 为例, 我们将简要阐述上述概念。在线程 `WorkerThread` 中, 方法 `run()` 依次调用了方法 `Message.obtain()` 和方法 `Handler.sendMessage(Message)`, 则有 $m_{run} \rightarrow m_{obtain}$ 和 $m_{run} \rightarrow m_{send}$ 。对于方法 m_{obtain} , $o_m \xrightarrow{return} m_{obtain}$ 成立。对于方法 m_{send} , $o_m \xrightarrow{parameter} m_{send}$ 、 $o_{handler} \xrightarrow{instance} m_{send}$ 成立。通过对 Android 运行机制的分析, 我们知道 $m_{send} \xRightarrow{*} m_{enqueue}$ 、 $m_{enqueue} \hookrightarrow m_{dispatch}$ 以及 $m_{dispatch} \xRightarrow{*} m_{handle}$, 因此, $m_{send} \hookrightarrow m_{handle}$ 。

3.3 本章小结

本章从方法和对象的关系、方法间关系、调用图等几个方面对方法关系、方法执行、调用关系、触发关系、函数调用图、拓展调用图等概念做了符号化的定义, 并结合第二章的 `Handler` 例子简单阐述了上述概念。

第四章 设计与实现

4.1 系统功能

本文以帮助研究人员和开发人员了解 Android 应用程序的执行过程作为基本出发点,通过设计与实现 Android 动态函数调用图构建系统 RunDroid,生成 Android 应用程序运行时对应的动态函数调用图,从方法调用关系、方法间的触发关系以及方法执行的相关对象信息等多个方面较为全面地展现 Android 应用的执行过程,为应用程序分析提供更为多样、准确的信息。另外,系统具备一定的可拓展性,可以方便相关人员根据自身的业务需求对系统进行扩展,完成相应的需求。

4.2 基本思想

以图 4.1 为例,图 4.1-左上为一段示例代码:在 main 函数执行时,程序会依次调用 A、B 两个函数,而 B 函数则会调用了 C、D 两个函数。图 4.1-左下则是期望输出——函数调用图。在本质上,函数调用图属于树。程序执行过程可以看做树的深度优先遍历过程。函数调用图还原的关键点,在于如何在程序执行过程中输出树的遍历序列,并根据遍历序列进行还原。通常的,树的遍历分为中序遍历、前序遍历以及后序遍历三种。不幸的,两颗结构完全不同的树对应的遍历序列可能是一样的,这也就意味着上述三种遍历方法均不能直接还原出函数调用图。

若在程序执行前后均记录日志(即一个方法的执行会输出两条日志:方法开始日志、方法结束日志)时,我们得到的遍历序列是唯一的,可以直接用于函数调用图的还原。

为此,我们采用的基本思路如下:通过对源程序(图 4.1-左上)进行预处理,

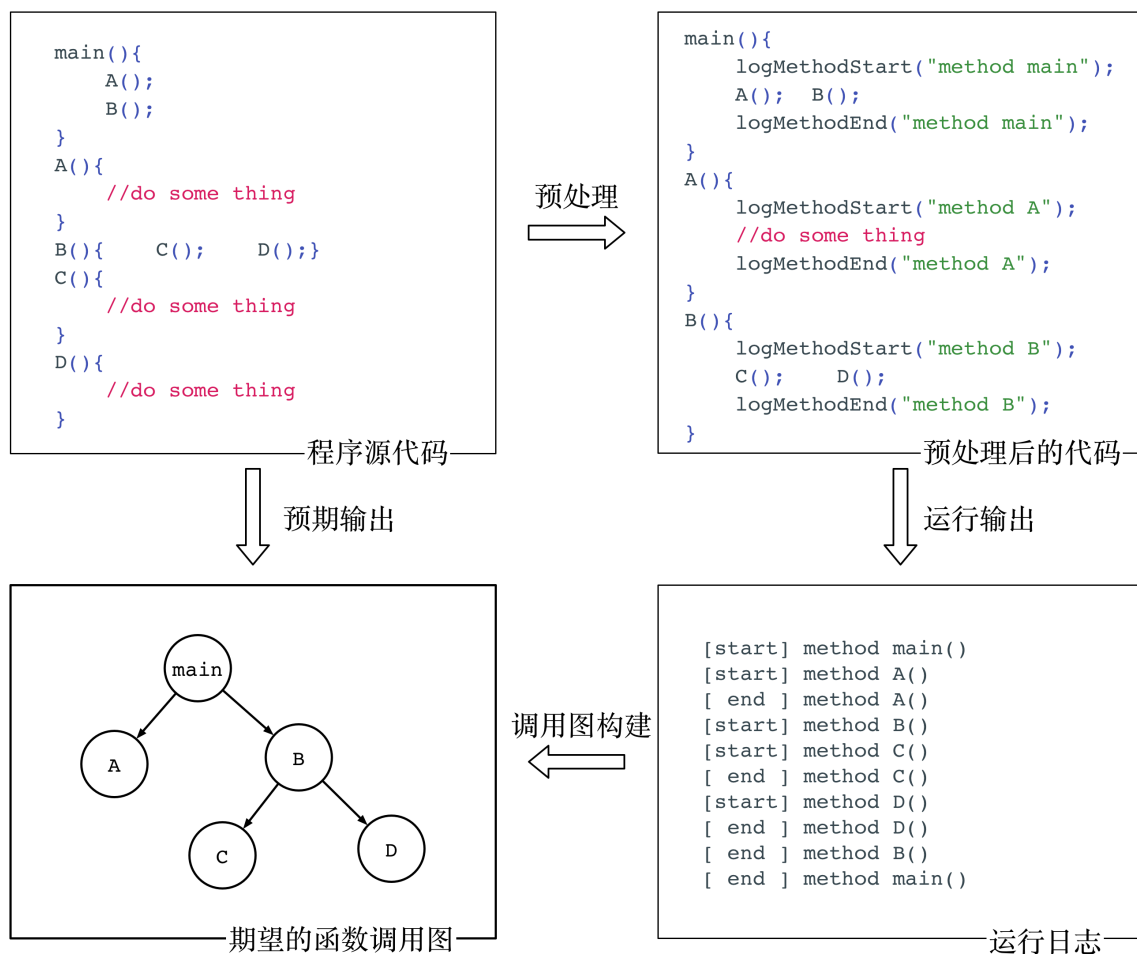


图 4.1: RunDroid 的基本思路

得到包含日志记录功能的运行代码（图 4.1-右上）；程序在函数执行前后可以输出和方法执行相关的日志信息，（图 4.1-右下）；最后，我们根据这些日志信息构建出函数调用图（图 4.1-左下）。在函数调用图的基础上，**RunDroid** 利用日志中包括的方法对象信息，挖掘和方法对象相关联的方法，结合具体触发规则，进而建立方法触发关系。

4.3 技术路线

在技术实现上，**RunDroid** 主要分为预处理器、运行时拦截器、日志记录器、调用图构建器等 4 个部分。对应技术路线如下：预处理器通过源代码插桩技术实现用户方法层面的信息记录，而运行时拦截器则负责拦截系统方法的执行。在应用

运行时，日志记录器会记录用户方法和系统方法对应的执行信息，以日志的形式记录下来。最后，调用图构建器会根据应用程序运行时输出的日志，构建拓展函数调用图。对应的工作流程如图 4.2所示。

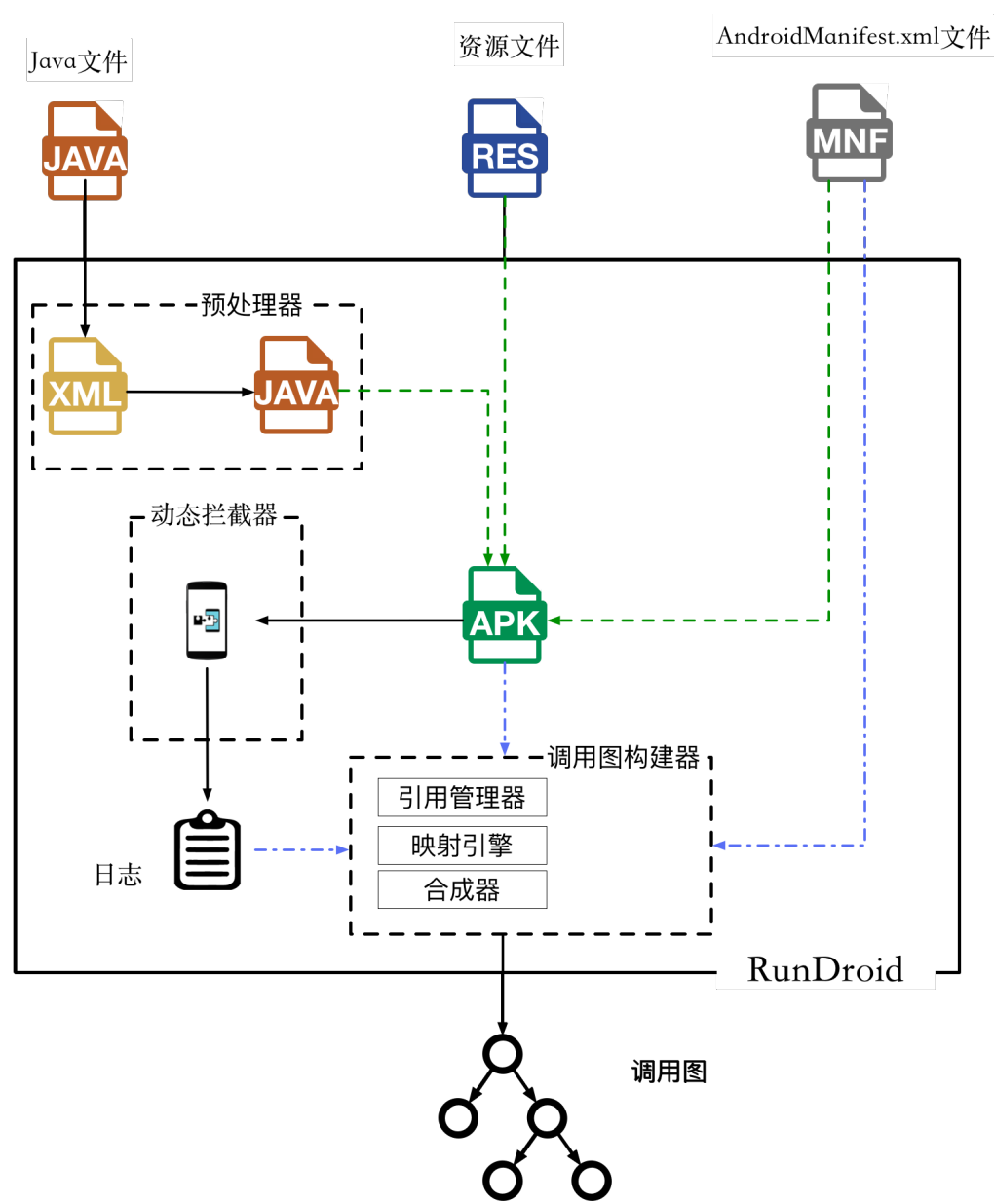


图 4.2: RunDroid 的工作流程

4.4 相关技术介绍

4.4.1 srcML

srcML [32] 是轻量级源代码分析工具，它可以将程序的抽象语法树以 XML 的形式展现给用户，支持 C、C++、C# 以及 Java 等多个语言的语法解析。srcML 的语法解析器采用的是基于 LL(*) 算法实现的语法解析器 ANTLR 2.7.7，解析得到的 XML 内容保留了源代码中完整的语法树信息。同时，srcML 还提供了一个强大工具集，支持对生成内容的查询、分析以及修改，可以用于架构设计、语言研究、软件重构等场景，应用于软件工程、编程语言、并行和分布式处理等多个领域。在 RunDroid，srcML 承担的主要职责为源代码的语法解析，辅助完成用户方法层面的日志代码的编织（weaving）。

4.4.2 Xposed 框架

Xposed [33] 是由 rovo89 主导开发的第三方框架。基于 Xposed 开发的第三方插件，可以在不修改系统和应用程序源代码的情况下，改变他们的运行行为。Xposed 框架可以运行在不同版本的 Android 系统上，开发过程十分便利，而且易于撤销。Xposed 的实现原理具体如下：由于 Android 系统的所有的应用程序进程都是由 Zygote 进程孵化而来，Xposed 通过替换程序 `/system/bin/app_process`，使得系统在启动过程中加载 Xposed 的相关文件，将所有的目标方法指向 Native 方法 `xposedCallHandler`，维护目标方法和对应的钩子方法（Hook Function）的映射关系，从而实现对 Zygote 进程及 Dalvik 虚拟机的劫持；当程序执行到目标方法时，`xposedCallHandler` 会完成目标方法的原有代码和对应钩子方法的调度，达到对目标方法劫持的目的。在 RunDroid 中，Xposed 可以帮助我们实现类似面向切面编程（Aspect-Oriented Programming, AOP）的功能，辅助完成系统方法的执行情况的日志记录。

4.4.3 Neo4j

Neo4j [34] 是基于 Java 语言开发的图数据库。与传统的基于关系模型的存储结构不同, Neo4j 的存储模型是基于图论开发的, 遵循属性图数据模型。Neo4j 的数据主要分为节点 (Node) 和关系 (Relationship) 两大类, 分别对应图论中的点与边。另外, Neo4j 还可以在关系和节点上添加 key-value 形式的属性, 为节点指定一个或者多个标签, 为关系指定类型等等。Neo4j 以 Lucence 作为索引支撑, 支持完整的 ACID (原子性, 一致性, 隔离性和持久性) 事务规则, 提供了基于 Cypher 脚本、Native Java API 和 REST Http API 等多种方式帮助开发人员进行数据开发工作。同时, Neo4j 还提供了友好的浏览器界面, 具有十分友好的交互体验。由于基于属性图数据模型, Neo4j 通常适用于和图关系有着密切关系的应用场景: 例如社交网络分析, 公共交通网络研究以及地图网络拓扑等场景。在 RunDroid, Neo4j 主要承担着拓展函数调用图的存储、查询、展示的主要职责。

4.5 模块实现

4.5.1 预处理器

为了捕获用户方法的运行时执行信息, RunDroid 的预处理器组件会对应用程序进行插桩工作。为了避免传统字节码插桩技术在生成过多的方法数而导致的方法数 65K 限制问题, 预处理器采用的方案是源代码层面的插桩方案。该方案通过源程序修改, 将日志记录代码直接作用在方法体内部, 最大限度地减少了 APK 构建过程中方法数的增加, 避免了方法数 65K 限制问题。日志记录代码在方法执行前后会调用日志记录器输出方法执行日志。

预处理器以 Android 项目源代码作为输入, 输出预处理后的 APK 文件。预处理器会遍历项目源代码中的每一个 Java 文件, 利用 srcML 转化成对应的抽象语法树。对于抽象语法树中的每一个方法, 预处理器会计算出编译后所处的类的全限定类名及对应的完整的方法签名, 并将这些信息以日志记录代码的形式写回到方法体中。另外, 日志记录代码记录了和方法相关的方法对象信息: 和方法有参数或者

实例关系的对象会在方法执行时输出到日志，方法的返回值对象则是在方法结束以后输出到日志中。全限类名和方法签名的组合 < 全限类名，方法签名 > 和抽象语法树中的方法体一一对应，可以看做方法体的唯一标识，因此我们根据这些日志信息，定位到具体对应的方法体，还原出函数调用关系，构建出函数调用图。另外，预处理器还对每个方法体进行了异常捕获处理，防止方法体内部的异常导致日志记录过程的中断，影响函数调用图的构建。最后，预处理器会将插桩后的源代码构建成 APK 文件。

4.5.2 运行时拦截器

运行时拦截器的主要职责是对 Android 系统定义的方法执行进行拦截，将相关信息传递给日志记录器，弥补预处理器无法捕获系统方法执行信息的缺陷。运行时拦截器可以帮助提供系统方法的执行信息，填补调用图缺失的系统方法执行，进而可以还原出应用层和系统层之间以及系统内部的方法调用，产生完整的方法调用，进而帮助我们还原出方法间的触发关系。

在实现上，运行时拦截器是基于 Xposed 的插件，它维护的列表包括了所有需要拦截的系统方法（下称为目标方法），如表 4.1 所示。每当应用程序启动时，运行时拦截器通过 Xposed 提供的 API *XposedHelpers.findAndHookMethod()* 将表 4.1 中的目标方法绑定到方法钩子（即类 *HookCallBack*）上。在应用程序的运行过程中，*HookCallBack* 对象的 *beforeHookedMethod(MethodHookParam)* 会在目标方法执行之前被调用，*afterHookedMethod(MethodHookParam)* 会在目标方法执行后调用。最终，*HookCallBack* 对应会将方法执行的相关信息传递给日志记录器。

4.5.3 日志记录器

日志记录器的职责是将方法执行的消息以日志的形式持久化下来。针对不同的方法类型（静态方法与非静态方法、用户方法与系统方法等），日志记录器提供了不同的 API，帮助我们记录相应方法执行的日志信息。在日志内容上，日志记录器还会记录每个方法执行的所处线程、方法签名标识、所处阶段（开始执行该方

表 4.1: 运行时拦截器拦截的系统方法列表

方法签名	说明
Activity onCreate Bundle Activity onStart Activity onResume Activity onPause Activity onStop Activity onDestroy	和 Activity 生命周期相关的方法
Thread start	和 Java 线程启动相关的方法
Message obtain Handler enqueueMessage MessageQueue Message long Handler dispatchMessage Message Handler post Runnable Handler postAtTime Runnable long Handler postAtTime Runnable Object long Handler postDelayed Runnable long Handler postAtFrontOfQueue Runnable Handler sendMessage Message Handler sendEmptyMessage int Handler sendEmptyMessageDelayed int long Handler sendEmptyMessageAtTime int long Handler sendMessageAtFrontOfQueue Message Handler sendMessageDelayed Message long Handler sendMessageAtTime Message long	和 Hanlder 机制相关的方法

法/方法执行完毕) 以及相关的方法对象信息 (包括对象的类型、基本属性以及内存地址等)。

4.5.4 调用图构建器

拓展函数调用图构建器 (以下简称调用图构建器) 的主要功能是拓展函数调用图的构建、存储和展现。在实现上, 调用图构建器主要有以下几个部分组成: 对象标识管理器、调用图存储器以及触发关系生成器。

调用图构建器以应用程序在运行时的日志信息作为输入, 利用日志中的方法执行信息在调用图存储器中初步建立函数调用图。同时, 对象标识管理器会根据

对象使用的上下文（如该和哪个方法产生关联，具体的关系是什么等）赋予相应的标识 ID，并将其添加到函数调用图中。最后，根据调用图存储器中方法和对象之间的关系结合具体的触发关系，触发关系生成器会还原出方法间的函数触发关系。在技术选型上，调用图存储器采用 Neo4j 作为调用图的底层存储引擎，触发关系生成器中的规则定义由 Cypher 脚本和 Soot 共同实现。

4.6 基于源代码的日志代码插桩过程

xxxx算法 1

算法 1: 函数调用图的构建过程	
输入: <i>logs</i> , 应用程序的运行时日志	
输出: <i>cg</i> , 函数调用图	
1	Function <i>buildCallGraph(log)</i> :
2	$cg \leftarrow \text{new CallGraph}();$
	Result: new Java File

4.7 扩展函数调用图的构建过程

调用图构建器构建拓展函数调用图的过程分为两个阶段：RunDroid 根据程序运行时的日志提取函数间的调用关系，创建函数调用图；在函数调用图的基础上，RunDroid 利用方法执行与方法对象的关联关系，结合具体的触发关系规则，创建方法间的触发关系，形成最终的拓展函数调用图。

4.7.1 构建函数调用图

由于各个线程在执行过程中，不存在一个调用关系跨越两个线程，因此，在整个构建过程中，RunDroid 以产生日志的线程为基本构建单元，向调用图添加方法调用关系。函数调用图的构建过程如算法 2所示。对于每个线程，RunDroid 顺序遍历对应的日志，使用栈 *stack* 的入栈、出栈操作来模拟对应线程的函数执行的过程，还原调用关系（第 3~ 20 行）：当读取到方法执行的开始日志时，系统会在调

算法 2: 函数调用图的构建过程**输入:** $logs$, 应用程序的运行时日志**输出:** cg , 函数调用图

```

1 Function buildCallGraph(log):
2    $cg \leftarrow \text{new CallGraph}()$ ;
3   for  $thread \in logs.threads$  do
4      $stack \leftarrow \text{new Stack}()$ ;
5     for  $log \in logs.get(thread)$  do
6        $top = stack.peek()$  ;
7       if  $isMethodStartLog(log)$  then
8          $m \leftarrow \text{generateMethodInfo}(log)$ ;
9          $cg.addMethodNode(m)$ ;
10         $cg.addMethodObjects(o_p, o_i)$  ;
11         $cg.addMethodObjectRels(\langle o_p \xrightarrow{parameter} m \rangle, \langle o_i \xrightarrow{instance} m \rangle)$  ;
12        if  $top \neq null$  then
13           $cg.addInvokeRel(\langle top \rightarrow m \rangle)$  ;
14           $stack.push(m)$ ;
15        else
16           $cg.addMethodObject(o_r)$  ;
17           $cg.addMethodObjectRel(\langle o_r \xrightarrow{return} m \rangle)$  ;
18           $stack.pop()$  ;

```

用图创建一个节点表示该方法的执行（第 7~8 行），同时也在调用图中添加方法参数、方法实例对应的对象节点 o_p 、 o_i 以及方法对象和方法的关系 $\langle o_p \xrightarrow{parameter} m \rangle$ 、 $\langle o_i \xrightarrow{instance} m \rangle$ （第 9~10 行）。如果此时当前线程栈 $stack$ 的栈顶方法元素 top 存在，系统会创建从方法 top 到当前方法 m 的调用关系， $\langle top \rightarrow m \rangle$ ，并将当前方法 m 压入栈 $stack$ 中（第 11~14 行）。当读取到方法执行的结束日志时，该日志对应的方法必然是栈顶方法 top ，若栈顶方法 top 存在返回对象 o_r ，则只需要将 o_r 和 top 的关系添加到调用图中即可，最后弹出栈顶的 top 即可（第 16~18 行）。在上述过程中，如果待添加的方法对象在调用图中已经存在时，该对象则无须重新添

加，只需添加方法与对象间的关系即可。

4.7.2 构建 Activity 的生命周期

Android Activity 生命周期的构建利用的是 *Activity* 生命周期相关方法的签名的不变性。具体过程如下：遍历调用图中所有的方法，如果一个方法的方法签名属于第二章中图 2.2 定义的方法，并且这个方法在调用图中不在调用者¹，执行线程为主线程，则这些线程为 *Activity* 生命周期的相关方法。将上述方法按照时间顺序连接起来，即可得到 *Activity* 的生命周期。

4.7.3 构建多线程触发关系

在构建多线程触发关系时，我们只要分为两个方面：基于 *Java* 的多线程交互与基于 *Handler* 的多线程消息调度。具体的过程如算法 3 所示。

基于 *Java* 的多线程交互

基于 *Java* 的多线程交互往往是以 *Runnable* 作为传递对象，通常通过调用方法 *Thread.start()*（用 m_{start} 表示）和 *Activity.runOnUiThread(Runnable)*（用 $m_{runOnUiThread}$ 表示）等 API，进而触发方法 *Runnable.run()*（用 m_{run} 表示）的执行。因此，对于方法 *Thread.start()*，如果存在一个 *Runnable* 类型的对象 r ，它既是方法 m_{start} 的实例，又是方法 m_{run} 的实例，则两个方法间存在触发关系，即 $m_{start} \hookrightarrow m_{run}$ （第 8~10 行）。同样的，对于方法 *Activity.runOnUiThread(Runnable)*，也存在类似的关系：如果存在一个 *Runnable* 类型的对象 r ，它既是方法 $m_{runOnUiThread}$ 的参数，又是方法 m_{run} 的实例，则两个方法间存在触发关系，即 $m_{runOnUiThread} \hookrightarrow m_{run}$ （第 11~13 行）。

基于 *Handler* 的多线程消息调度

根据第二、三章的介绍，我们已经知晓用户通过调用 *Handler* 提供的 API，将相关业务逻辑借助 *Message* 对象传递给目标线程的 *Handler* 对象，在目标线程执行

¹不允许调用者存在是为了防止误判下面这种情况：开发人员在重写生命周期方法时调用了父类的生命周期方法。

算法 3: 扩展函数调用图的构建过程输入: cg , 函数调用图输出: ecg , 拓展函数调用图

```

1 Function buildExtendedCallGraph( $cg$ ):
2    $ecg \leftarrow cg$ ;
3   addThreadTrigger( $ecg$ );
4   addHandlerTrigger( $ecg$ );
5   return  $ecg$ ;

6 Function addThreadTrigger( $ecg$ ):
7   for  $o_r \in \{o \mid o \text{ is the Runnable object node } \in ecg\}$  do
8     if  $\langle m_{start} \xrightarrow{instance} o_r \rangle \in ecg$ 
9       and  $\langle m_{run} \xrightarrow{instance} o_r \rangle \in ecg$  then
10       $ecg.addThreadTriggerRel(m_{start} \hookrightarrow m_{run})$ 
11    if  $\langle m_{runOnUiThread} \xrightarrow{parameter} o_r \rangle \in ecg$ 
12      and  $\langle m_{run} \xrightarrow{instance} o_r \rangle \in ecg$  then
13       $ecg.addThreadTriggerRel(m_{runOnUiThread} \hookrightarrow m_{run})$ 

14 Function addHandlerTrigger( $ecg$ ):
15   for  $o_m \in \{o \mid o \text{ is the Message object node } \in ecg\}$  do
16     if  $\langle m_{enqueue} \xrightarrow{parameter} o_m \rangle \in ecg$ 
17       and  $\langle m_{dispatch} \xrightarrow{parameter} o_m \rangle \in ecg$  then
18        $m_{send} = \text{calculateSendMethod}(ecg, m_{enqueue})$ ;
19        $m_{handle} = \text{calculateHandleMethod}(ecg, m_{dispatch})$ ;
20        $ecg.addHandleTriggerRel(m_{send} \hookrightarrow m_{handle})$ 

```

相应的业务逻辑处理。

首先, 我们利用 handler 的方法 *enqueueMessage(Message)* (用 $m_{enqueue}$ 表示) 和 *dispatchMessage(Message)* (用 $m_{dispatch}$ 表示) 公用同一个 Message 对象的特点, 找到所有的 Handler 底层函数触发关系, $m_{enqueue} \hookrightarrow m_{dispatch}$ (第 16~17 行); 对于每一个触发关系 $m_{enqueue} \hookrightarrow m_{dispatch}$, 从 $m_{enqueue}$ 顺着调用关系往上找到最上层的 Handler API 方法 (即用户调用的 Handler API 方法, m_{send}) (第 18 行), 从

$m_{dispatch}$ 顺着调用关系往下找到用户定义的方法 $Handler.handleMessage(Message)$ m_{handle} (第 19 行), 最后在调用图中提交方法 m_{send} 和 m_{handle} 之间的触发关系 $m_{send} \hookrightarrow m_{handle}$ (第 20 行)。

4.8 本章小结

本章详细介绍了 RunDroid 的设计与实现。首先, 本章简要介绍了 RunDroid 实现的基本功能, 并通过一个简单的例子介绍了 RunDroid 运行的基本思路。由此, 我们提出了 RunDroid 具体的技术路线: RunDroid 利用源代码插桩和运行时拦截器相结合的方式, 将运行时的方法执行信息以日志的形式保存下来, 通过线程内部各个方法日志的嵌套关系还原出函数调用图, 并利用调用图中方法和方法对象之间的关系结合具体的触发关系补全方法间的触发关系, 形成最终的拓展函数调用图。此外, 我们还介绍了 RunDroid 在实现上使用到的技术以及各模块的具体实现。

第五章 系统测试

合并chapter 五、chapter 六两章

5.1 实验设置

本章中，我们将环绕着构建效率、日志效率、运行效率等三个方面对 RunDroid 角进行系统测试和评估。

实验相关配置的环境如下：PC 端对应的型号是 ThinkPad E430，对应的 CPU 型号为 Intel 酷睿 i5 3210M（双核），内存为 12GB。手机型号为小米 MI 5，对应处理器型号为骁龙 820（四核心，最高主频 1.8GHz），RAM 为 3GB，对应的系统版本为 Android 6.0，内置 Xposed 运行环境。

5.2 日志效率对比实验

由于 RunDroid 需要将应用程序运行时的方法执行信息以日志的形式记录下来，而日志记录行为是磁盘读写（I/O）操作，在一定程度上属于耗时操作。经过技术调研，我们发现 Android 平台上可行的日志记录方案分为以下几种：基于 Android Log 机制的原生日志系统 Logcat、基于 Java File API 的文件读写方案以及基于 MMap 内存映射机制实现的日志读写方案。

为了评估以上几种日志的执行效率，本节进行了如下实验：记录不同记录次数下，记录规格大小不同（数据的大小在 10K ~ 20K 之间）的数据所需要的时间。本节实验主要在移动设备上进行。上述实验过程各个日志方案的时间消耗统计结果如图 5.1 所示。从图 5.1 中，我们可以看出大部分情况下，Logcat、Java File API

序号	应用名	未采用插桩方案			采用插桩方案		
		方法数	APK 大小	构建时间	方法数	APK 大小	构建时间
1	2	方法数	APK 大小	构建时间	方法数	APK 大小	构建时间
2	2	方法数	APK 大小	构建时间	方法数	APK 大小	构建时间
3	2	方法数	APK 大小	构建时间	方法数	APK 大小	构建时间
4	2	方法数	APK 大小	构建时间	方法数	APK 大小	构建时间
5	2	方法数	APK 大小	构建时间	方法数	APK 大小	构建时间
6	2	方法数	APK 大小	构建时间	方法数	APK 大小	构建时间
7	2	方法数	APK 大小	构建时间	方法数	APK 大小	构建时间
8	2	方法数	APK 大小	构建时间	方法数	APK 大小	构建时间
9	2	方法数	APK 大小	构建时间	方法数	APK 大小	构建时间
10	2	方法数	APK 大小	构建时间	方法数	APK 大小	构建时间

图 5.1: 构建效率对比实验

、MMap 三种技术方案的效率依次提升，Logcat 效率最低，MMap 效率最高。经过分析，我们发现 Android 日志系统 Logcat 虽然通过内存缓冲区加速日志处理，但是在我们测试场景中，每一次日志记录操作，Logcat 都会在用户空间和内核空间之间切换，减低了日志记录效率。Java File API 方法在执行过程中，不仅涉及到了用户态-内核态之间的切换，内存-页缓存-磁盘三者之间的数据拷贝在一定程度上也增加了整体上的开销。而 MMap 方案只需要一次系统调用，避免了过多数据拷贝，执行效率最高。因此在 RunDroid 最终实现上，我们基于 MMap 内存映射机制实现了日志读写方案。

5.3 运行效率对比实验

5.4 本章小结

本章中，我们将环绕着构建效率、日志效率、运行效率等三个方面对 RunDroid 角进行系统性能测试和评估。并结合实验结果阐述了采用源代码插桩、基于 MMap 的日志方案等原因。

序号	应用名	未采用插桩方案			采用插桩方案		
		方法数	APK 大小	构建时间	方法数	APK 大小	构建时间
1	2	方法数	APK 大小	构建时间	方法数	APK 大小	构建时间
2	2	方法数	APK 大小	构建时间	方法数	APK 大小	构建时间
3	2	方法数	APK 大小	构建时间	方法数	APK 大小	构建时间
4	2	方法数	APK 大小	构建时间	方法数	APK 大小	构建时间
5	2	方法数	APK 大小	构建时间	方法数	APK 大小	构建时间
6	2	方法数	APK 大小	构建时间	方法数	APK 大小	构建时间
7	2	方法数	APK 大小	构建时间	方法数	APK 大小	构建时间
8	2	方法数	APK 大小	构建时间	方法数	APK 大小	构建时间
9	2	方法数	APK 大小	构建时间	方法数	APK 大小	构建时间
10	2	方法数	APK 大小	构建时间	方法数	APK 大小	构建时间

图 5.2: 运行效率对比实验

第六章 应用结果展示

6.1 函数调用图的构建结果展示

斐波拉契数列

6.2 Activity 的生命周期效果展示

6.3 多线程触发关系效果展示

6.4 本章小结

将展示 RunDroid 系统生成的函数调用图的运行结果，并对函数调用图进行详细的阐述。

```
1 package cn.mijack.rundroidtest;
2
3 public class MainActivity extends Activity implements View.OnClickListener {
4     Button button1, button2, button3;
5     Handler handler = new Handler() {
6         public void handleMessage(Message msg) {
7             if (msg.what == 1) {
8                 Toast.makeText(MainActivity.this, "handle", Toast.LENGTH_SHORT).show();
9             }
10        }
11    };
12    protected void onCreate(Bundle savedInstanceState) {
13        super.onCreate(savedInstanceState);
14        setContentView(R.layout.activity_main);
15        button1 = findViewById(R.id.button1);
16        button1.setOnClickListener(this);
17        // button2、button3 进行相同的操作
18    }
19    public void onClick(View view) {
20        switch (view.getId()) {
21            case R.id.button1:
22                doHandleButton1();
23                return;
24            // button2、button3 进行相同的操作
25        }
26    }
27    public void doHandleButton1() {
28        int fibonacci = doFibonacci(4);
29        Toast.makeText(this, "fibonacci: " + fibonacci, Toast.LENGTH_SHORT).show();
30    }
31    private int doFibonacci(int i) {
32        if (i < 0) return -1;
33        if (i == 1 || i == 0) return 1;
34        return doFibonacci(i - 1) + doFibonacci(i - 2);
35    }
36    public void doHandleButton2() {
37        Message message = Message.obtain();
38        message.what = 1;
39        handler.sendMessage(message);
40    }
41    public void doHandleButton3() {
42        Intent intent = new Intent(this, NewActivity.class);
43        startActivity(intent);
44    }
45 }
46
```

图 6.1: Example code for the Android execution model

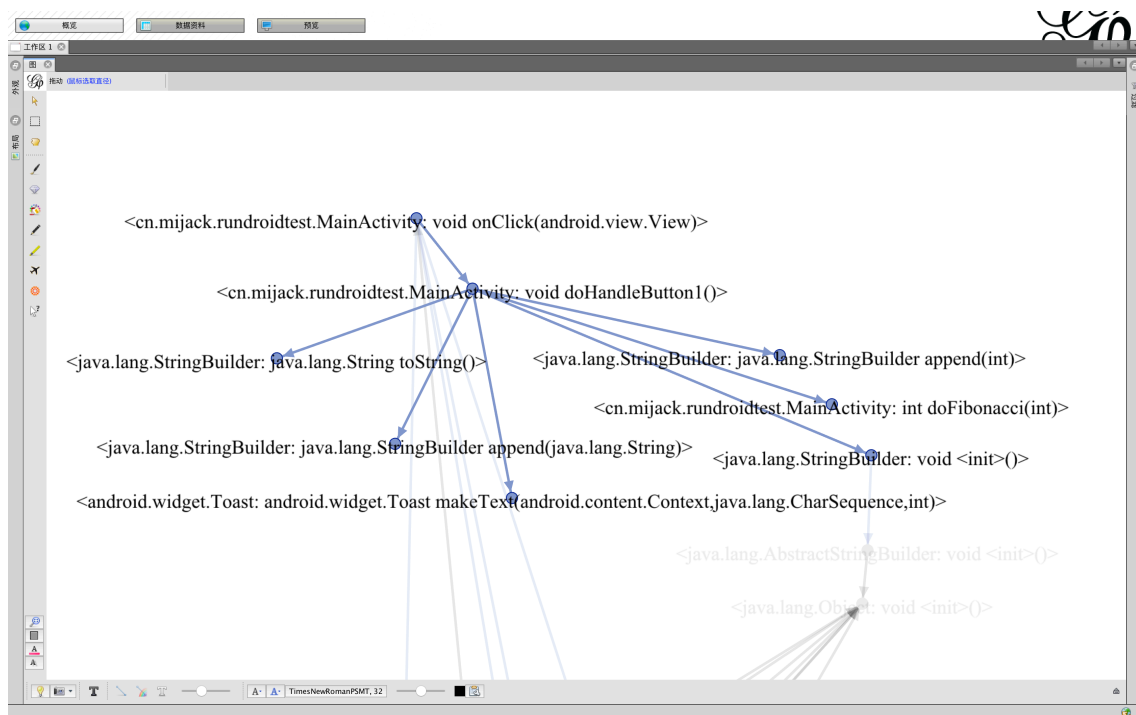


图 6.2: 斐波拉契数列-FlowDroid 生成的调用图

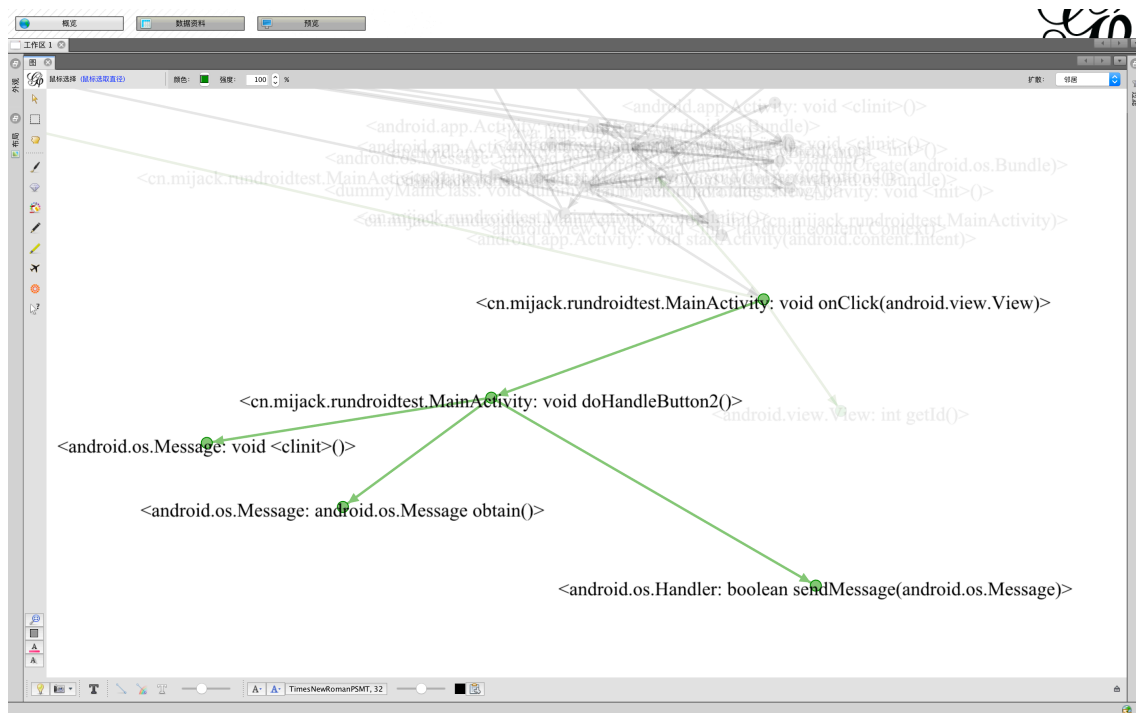


图 6.3: Handler-FlowDroid 生成的调用图

第七章 总结与展望

7.1 总结

本文尝试提出一个 Android 动态函数调用图构建系统，从应用层和系统层对 Android 应用程序的执行过程进行记录，并利用得到的执行日志信息还原 Android 应用程序的动态函数调用图，从方法层面还原程序的执行过程。另外，通过 Android 系统的源代码进行分析，我们可以找到 Android 应用程序中多线程相关的函数触发关系，进一步全面的展现 Android 应用程序的执行过程。另外，开发人员还可以对系统进行拓展，实现自身的需求。

7.2 展望

参考文献

- [1] Google Play Store: number of apps 2018 | Statistic[EB/OL]. 2018.
[https://www.statista.com/statistics/266210/
number-of-available-applications-in-the-google-play-store/](https://www.statista.com/statistics/266210/number-of-available-applications-in-the-google-play-store/).
- [2] STAFFORD J A, WOLF A L. A formal, language-independent, and compositional approach to interprocedural control dependence analysis[D]. [S.l.]: University of Colorado, 2000.
- [3] VALLÉE-RAI R, CO P, GAGNON E, et al. Soot-a Java bytecode optimization framework[C] // Proceedings of the 1999 conference of the Centre for Advanced Studies on Collaborative research. 1999 : 13.
- [4] ARZT S, RASTHOFER S, FRITZ C, et al. Flowdroid: Precise context, flow, field, object-sensitive and lifecycle-aware taint analysis for android apps[J]. Acm Silan Notices, 2014, 49(6) : 259–269.
- [5] WEI F, ROY S, OU X, et al. Amandroid: A Precise and General Inter-component Data Flow Analysis Framework for Security Vetting of Android Apps[C] // CCS '14 : Proceedings of the 2014 ACM SIGSAC Conference on Computer and Communications Security. 2014.
- [6] LI L, BARTEL A, BISSYANDÉ T F, et al. IccTA: Detecting Inter-component Privacy Leaks in Android Apps[C] // ICSE '15 : Proceedings of the 37th International Conference on Software Engineering - Volume 1. 2015.

- [7] androguard/androguard: Reverse engineering, Malware and goodware analysis of Android applications ... and more (ninja !)[EB/OL]. 2018.
<https://github.com/androguard/androguard>.
- [8] YANG S, YAN D, WU H, et al. Static control-flow analysis of user-driven callbacks in Android applications[C] // Software Engineering (ICSE), 2015 IEEE/ACM 37th IEEE International Conference on : Vol 1. 2015 : 89–99.
- [9] ROUNTEV A, YAN D. Static reference analysis for GUI objects in Android software[C] // Proceedings of Annual IEEE/ACM International Symposium on Code Generation and Optimization. 2014 : 143.
- [10] PAYET É, SPOTO F. Static analysis of Android programs[J]. Information and Software Technology, 2012, 54(11) : 1192–1201.
- [11] CHUN S H V T B, MCDANIEL L C J J P, ENCK A S W, et al. TaintDroid: an information-flow tracking system for realtime privacy monitoring on smartphones[J]. ACM Transactions on Computer Systems (TOCS), 2014.
- [12] pjllantz/droidbox: Dynamic analysis of Android apps[EB/OL]. 2018.
<https://github.com/pjllantz/droidbox>.
- [13] VAN DER VEEN V, BOS H, ROSSOW C. Dynamic analysis of android malware[J], 2013.
- [14] YAN L-K, YIN H. DroidScope: Seamlessly Reconstructing the OS and Dalvik Semantic Views for Dynamic Android Malware Analysis.[C] // USENIX security symposium. 2012 : 569–584.
- [15] Configure Apps with Over 64K Methods | Android Studio[EB/OL]. 2017.
<https://developer.android.com/studio/build/multidex.html>.

- [16] Simpleperf, Android NDK, Android Developers[EB/OL]. 2018.
<https://developer.android.com/ndk/guides/simpleperf>.
- [17] uber/nanoscope: An extremely accurate Android method tracing tool.[EB/OL]. 2018.
<https://github.com/uber/nanoscope>.
- [18] AU K W Y, ZHOU Y F, HUANG Z, et al. Pscout: analyzing the android permission specification[C] // Proceedings of the 2012 ACM conference on Computer and communications security. 2012 : 217–228.
- [19] PANDITA R, XIAO X, YANG W, et al. WHYPER: Towards Automating Risk Assessment of Mobile Applications.[C] // USENIX Security Symposium : Vol 2013. 2013.
- [20] YANG W, XIAO X, ANDOW B, et al. Appcontext: Differentiating malicious and benign mobile app behaviors using context[C] // Proceedings of the 37th International Conference on Software Engineering-Volume 1. 2015 : 303–313.
- [21] YANG Z, YANG M, ZHANG Y, et al. Appintent: Analyzing sensitive data transmission in android for privacy leakage detection[C] // Proceedings of the 2013 ACM SIGSAC conference on Computer & communications security. 2013 : 1043–1054.
- [22] SHAO Y, OTT J, JIA Y J, et al. The Misuse of Android Unix Domain Sockets and Security Implications[C] // ACM Sigsac Conference on Computer and Communications Security. 2016 : 80–91.
- [23] JIA Y J, CHEN Q A, LIN Y, et al. Open Doors for Bob and Mallory: Open Port Usage in Android Apps and Security Implications[C] // IEEE European Symposium on Security and Privacy. 2017 : 190–203.

- [24] BU W, XUE M, XU L, et al. When program analysis meets mobile security: an industrial study of misusing Android internet sockets[C] // Proceedings of the 2017 11th Joint Meeting on Foundations of Software Engineering. 2017 : 842–847.
- [25] MIRZAEI H, HEYDARNOORI A. Exception fault localization in Android applications[C] // Mobile Software Engineering and Systems (MOBILESoft), 2015 2nd ACM International Conference on. 2015 : 156–157.
- [26] MACHADO P, CAMPOS J, ABREU R. MZoltar: automatic debugging of Android applications[C] // Proceedings of the 2013 International Workshop on Software Development Lifecycle for Mobile. 2013 : 9–16.
- [27] SU T, MENG G, CHEN Y, et al. Guided, Stochastic Model-based GUI Testing of Android Apps[C] // ESEC/FSE 2017: Proceedings of the 2017 11th Joint Meeting on Foundations of Software Engineering. 2017 : 245–256.
- [28] FAN L, SU T, CHEN S, et al. Efficiently Manifesting Asynchronous Programming Errors in Android Apps[C] // Proceedings of the 33rd ACM/IEEE International Conference on Automated Software Engineering. 2018 : 486–497.
- [29] FAN L, SU T, CHEN S, et al. Large-scale Analysis of Framework-specific Exceptions in Android Apps[C] // ICSE '18: Proceedings of the 40th International Conference on Software Engineering. 2018 : 408–419.
- [30] CHEN N, HOI S C, LI S, et al. SimApp: A framework for detecting similar mobile applications by online kernel learning[C] // Proceedings of the Eighth ACM International Conference on Web Search and Data Mining. 2015 : 305–314.
- [31] CHEN N, HOI S C, LI S, et al. Mobile app tagging[C] // Proceedings of the Ninth ACM International Conference on Web Search and Data Mining. 2016 : 63–72.

- [32] COLLARD M, DECKER M, MALETIC J. srcML: An Infrastructure for the Exploration, Analysis, and Manipulation of Source Code[C] // Proceedings of 29th IEEE International Conference on Software Maintenance (ICSM'13) Tool Demonstration Track, Eindhoven, The Netherlands. 2013 : 1 – 4.
- [33] Xposed Installer | Xposed Module Repository[EB/OL]. 2017.
<http://repo.xposed.info/module/de.robv.android.xposed.installer>.
- [34] Neo4j, the world's leading graph database - Neo4j Graph Database[EB/OL]. 2017.
<https://neo4j.com/>.

致谢

二〇一八年十月

攻读学位期间发表的学术论文

1. Yujie Yuan, Lihua Xu, Xusheng Xiao, Andy Podgurski, and Huibiao Zhu, RunDroid: Recovering Execution Call Graphs for Android Applications. In Proceedings of the 2017 11th Joint Meeting on Foundations of Software Engineering (ESEC/FSE 2017).